

II-16 降雨下における桜島火山灰層のガリ侵食前線機構について

九州 大学 正員 山内 豊熙  
 " 正員 後藤 恵之輔  
 鹿児島高専 正員 村田 寛一  
 " 正員 ○ 因林 巧

まえがき 桜島は、昭和30年1月南岳が火山活動を再開して以来、現在までたびたび大小の爆発を繰り返している。山頂より標高500m位までは平均傾度20度の斜面で、古期火山噴出物と降下火山灰からなり、標高100~200mまでの地帶は新期火山噴出物が平均20度前後で分布し、各所で海岸まで達し熔岩原となる。200m以下の地帶は、平均5~10度以下の山麓緩斜面ないし扇状地である。山体は、幾層もの輝石安山岩質熔岩流や同質碎屑物層、軽石層、火山灰層に覆われ、ガリ侵食が進行し易い。このような地質・地形要因のことで、4~500m以上の裸地帯においては激しい縦横侵食と表面侵食が同時に進行するとともに、土砂は降雨に伴って函状谷を土石流的動きを示しつつ流下し、山麓部に至って枚出されている。また、最近においては、山腹の荒廃がかな速く進行していることも事実である。本研究は、火山灰斜面に対して降雨実験を行い、火山灰斜面のガリ侵食機構を明らかにせんとするものであるが、今回は降雨強度150mm/hの場合の結果について報告する。

実験方法と試料の性質 実験に用いた火山灰砂は、桜島東側の地獄河原で採取した粒径10mm以下の方で比重は2.41、粒度組成はレキ分40%、砂分43%、シルト分6%である。実験は、図-1に示すような形状および寸法の斜面を形成し、時間あたり50~300mm可能な雨滴型降雨装置を用い、降雨強度150mm/hの雨を降らせて。すなはて斜面は、初期乾燥密度 $1.26 \text{ g/cm}^3$  ( $\rho_0 = 4 \times 10^{-3} \text{ cm/sec}$ ) と定め、傾斜角を $\theta_1 = 20^\circ$ ,  $\theta_2 = \theta_3 = \theta_4 = 10^\circ$ と $\theta_5 = 20^\circ$ ,  $\theta_6 = \theta_7 = 15^\circ$ の2種類とし、斜面下部に透水層(ボラ)を5cm設けた。なお、この透水層のない実験も実施しているが、崩壊がガリ侵食型でないため今回の報告からは除いてある。

実験の結果および考察 本実験においては、いずれの条件下でも降雨開始後まもなく表面流が中央谷筋に集中し始め、それにともない微粒子の移動が生じ、ついで表面流の増加とともに粒径の大な土粒子が流送され、加速的にガリ侵食が天端より発達する一連のパターンが認められた。図-2は、降雨時間と流出土量、浸透水量および間げき水压の関係を示したものである。流出土量は、傾斜角25°の場合29分で斜面先が一部崩壊したので測定を継続できなかつたが、それまでの時間の進行とともに急速して、一方にに対し、傾斜角10°の場合は、最初の流出ピーク後数回のピークを伴つて漸次減少し、定常状態に落ち着いている。後者の理由は、表面流による流送過程中、斜面上で堆積と侵食を繰り返したことによるものである。堆積した土砂が再び流動する時の侵食力は大きくなり、斜面を加速的に縦横侵食させるようである。一方、浸透水は、降雨開始後7~8分で透水層より湧出し、侵食土量の流出が止まる頃からほぼ一定になり、この時期は、斜面の侵食が定常化する時と一致する。つまり、間げき水压(測定点No.2)は、傾斜角25°の場合、浸透水が湧出し始めたから7~8分後に計測され、浸透水量の増大とともに上昇しているが、傾斜角10°の場合水圧はほとんどなかった。このことは、斜面の傾斜角の違いより、斜面の層厚によるものと考えられる。天端からのガリ侵食長さと降雨時間およびガリ巾と降雨時間の関係がそれぞれ図-3, 4である。これらの結果から、ガリ侵食長さは降雨開始初期10分間でほぼ一定となつて、しかしガリ巾は、傾斜角10°の場合30分程度で一定になるのに対し

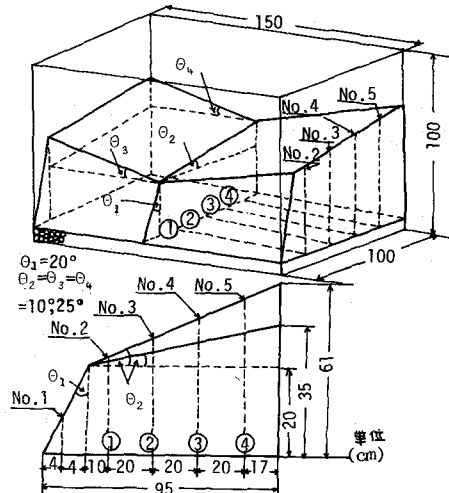


図-1 斜面の形状および寸法

るようである。一方、浸透水は、降雨開始後7~8分で透水層より湧出し、侵食土量の流出が止まる頃からほぼ一定になり、この時期は、斜面の侵食が定常化する時と一致する。つまり、間げき水压(測定点No.2)は、傾斜角25°の場合、浸透水が湧出し始めたから7~8分後に計測され、浸透水量の増大とともに上昇しているが、傾斜角10°の場合水圧はほとんどなかった。このことは、斜面の傾斜角の違いより、斜面の層厚によるものと考えられる。天端からのガリ侵食長さと降雨時間およびガリ巾と降雨時間の関係がそれぞれ図-3, 4である。これらの結果から、ガリ侵食長さは降雨開始初期10分間でほぼ一定となつて、しかしガリ巾は、傾斜角10°の場合30分程度で一定になるのに対し

べ、傾斜角 $25^\circ$ の場合その後においてもかなり拡大され、ついで斜面天端より斜面中腹部での発達が著しいことが明らか。図-5はガリ巾とガリ深さの比と降雨時間の関係、図-6はガリ侵食谷の横断面積と降雨時間の関係、および図-7は、ガリ侵食谷の横断面積をそれぞれNo.2, 4について示したものである。ガリ巾とガリ深さの比は、いずれの条件下においても最終的には一定値に収斂するものと考えられる。ガリ侵食横断面積は、傾斜角 $25^\circ$ において、増加の一途をたどり、傾斜角 $10^\circ$ に関しては降雨開始初期に一定になつている。これらのパターンは、斜面の表面流の量と速度に支配されていると考えられが、今回は、表面流量の測定を完全には実施していないので考察できなかつた。ただ、表面流は、傾斜角の大きな場合に多く観察されている。ついで、図-7から、天端附近においては、侵食が沿直方向に主として進行しているのに対し、斜面中腹部では水平行方向に侵食され、かつ傾斜角の大きな斜面程このことが顕著であることが明らか。これらのお因として、表面流と浸透流の方向が中腹部では、多方向から谷部に集中するのに對し、天端附近では斜面上方谷部よりの流れが卓越していることが上げられる。

あとがき 本研究は鹿児島県桜島地域学術調査協議会による研究に参加して得られた成果の一部である。また実験に関して終始協力を受けた鹿児島高専工質工学研究室卒論生の赤田清隆、中西明広および福里吉城君に謝意を表す次第である。

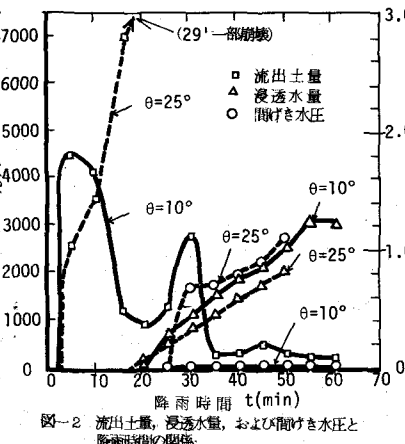


図-2 流出土量、浸透水量、および間けき水圧と降雨時間の関係

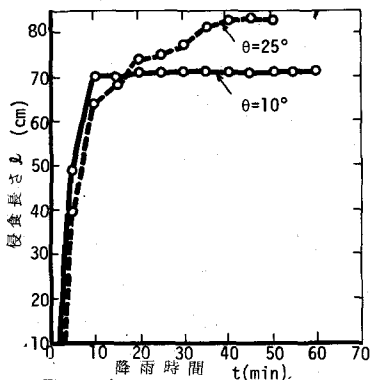


図-3 天端からの侵食長さと降雨時間の関係

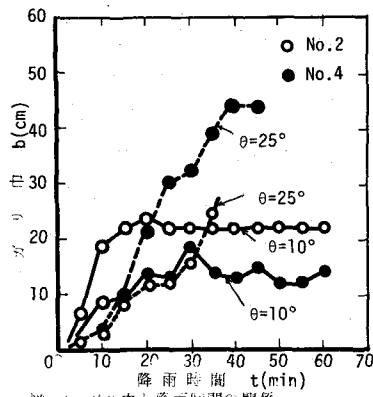


図-4 ガリ巾と降雨時間の関係

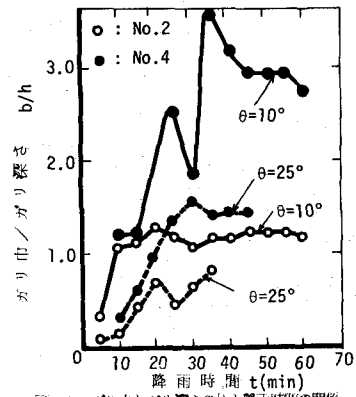


図-5 ガリ巾とガリ深さの比と降雨時間の関係

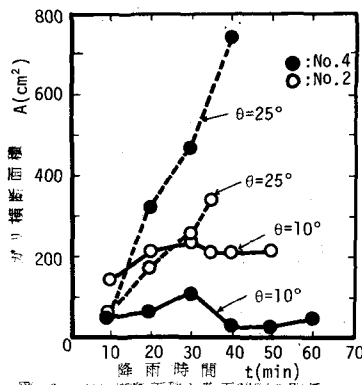


図-6 ガリ横断面積と降雨時間の関係

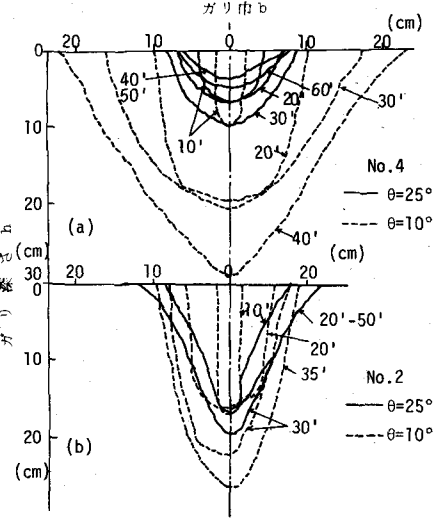


図-7 ガリ侵食横断面の経時変化